

HQ S-110461

H_2S^+

Marrison J.D. 1951.

(y)

B4P - 3365 - L

"J. Chem. Phys"

1951, 19, v 10,

1305 - 8

H_2S^+

Bqp - 5486-III

v 1953

Lindholm E.

(y)

(Research Notes)

p-1068-70.

Ionization and Fragment.
of molecule ~~les~~ :-

H_2S^+ First D.C. Mc Dowell C.A. 1958

Can. J. Chem., 1958, 36, 39.

Бордисперсионное соединение
серебра.

B92-5484-III
McDowell

(Ac. HF^+)

H_2S^-

1966

2 Д189. Получение и свойства отрицательного иона H_2S^- . Bennett J. E., Mile B., Thomas A. Preparation and properties of the H_2S negative ion. «Chem. Commun.», 1966, № 7, 182—184 (англ.)

При исследовании взаимодействия Na_2CO_3 и K_2CO_3 с H_2S (D_2S) наблюдалось образование иона H_2S^- (D_2S^-). Полосы поглощения иона H_2S^- обнаружены при $77^\circ K$ в спектре отражения продуктов взаимодействия в диапазоне 3000—11 000 Å. Спектр ЭПР показал, что донором электронов при образовании иона H_2S^- являются атомы щелочных металлов. Анализ спектров показал, что в системах, содержащих H_2S^- и D_2S^- имеет место взаимодействие электронов с двумя эквив. протонами или дейtronами. Предполагается, что в твердом H_2S и D_2S орбитали непарных электронов ограничивают свое действие только одной молекулой, образующей H_2S^- , D_2S^- . Библ. 12 назв.

И. Ц.

9. 1967. 29

H_2S^-

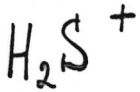
1966

1 Б89. Получение и свойства отрицательного иона H_2S^- . Bennett J. E., Mile B., Thomas A. Preparation and properties of the H_2S^- negative ion. «Chem. Communns», 1966, № 7, 182—184 (англ.)

Исследованы спектры поглощения в видимой и УФ-области и спектры ЭПР ионов H_2S^- и D_2S^- , образующихся при р-ции атомов К и Na с H_2S и D_2S при 77°К. Спектр поглощения анионов обнаруживает широкую полосу в области 7000—10 600А и узкую полосу ~4000А. Результаты сравниваются с полученными ранее для H_2O . Полагают, что в то время как для ионов H_2O^- орбита неспаренного электрона распространяется на несколько молекул тв. H_2O , в тв. H_2S и D_2S только одна молекула образует отрицат. ион вследствие низких энергий вакантных 3d-орбит серы и малого дипольного момента тв. H_2S и D_2S . Ионы H_2S^- и D_2S^- устойчивы при т-рах 77—110°К.

Я. Кимельфельд

Х (1967)

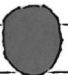


Fiquet - Fayard F., 1966

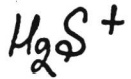
Guyon P.M.

Mol. Phys., 11, N1, 17

Происходит в результате
соприкосновения трехатомных
молекул под действием
электрического поля.



(c.u. H_2O^+) III

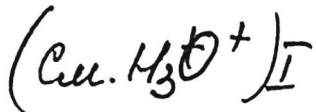


(AP)-12, 41;
14, 14

Haney M. A.,
Franklin J. K.

1969

J. Chem. Phys.,
1969, 50, n^o 5, 2028



H₂S⁺

grotan.

comp.

(y)

148667w High resolution photoelectron spectrometry of hydrogen sulfide and hydrogen selenide. Delwiche, Jacques; Natalis, Paul; Collin, Jacques E. (Inst. Chim., Univ. Liege, Liege, Belg.). *Int. J. Mass Spectrom. Ion Phys.* 1970, 5(5-6), 443-55 (Eng). The He, Ne, and Ar high resoln. photoelectron spectra of H₂S and H₂Se were investigated. The adiabatic ionization energy corresponding to ²B₁, ²A₁, and ²B₂ states of H₂S⁺ and H₂Se⁺ were measured as well as values of the vibrational frequencies involved in the transitions from the neutral ground state ¹A₁ to these 3 ionic states. A sudden loss of vibrational structure in the 2nd band of both compds. is interpreted as being due to a predissocn. process leading to S⁺ or Se⁺ ion formation. A cross section variation with photon energy for the transition to upper vibrational levels of the ²B₁ state, or autoionizing states as intermediate steps, is invoked to account for the extensive vibrational structure of the Ar spectrum of the 2 compds.

RCBBQ

BBQ-X

C.A. 1941.74.26.

(H) H₂Se⁺

1940

00716.8162

H₂S⁺ (v_i, T, u, u) 1970

Ph. Ch XII 271

96201

89-XII-244

Delwiche J., Natalis P. Photoelectron
spectrometry of hydrogen sulfide.

"Chem. Phys. Lett.", 1970, 5, N 9,

564-566

(англ.)

10 0153 5123
~~КИЦИДО~~

137 138 244

ВИНИТИ

H₂S⁺

1971

16 Б131. Сравнение фотоэлектронных и оптических данных для ион-радикала H₂S⁺ Dixon R. N., Duxbury G., Ногапі M., Rostas J. The H₂S⁺ radical ion. A comparison of photoelectron and optical spectroscopy. «Mol. Phys.», 1971, 22, № 6, 977—992 (англ.)

Эмиссионный спектр в районе 4000—5000 Å, возникающий при возбуждении H₂S медленными электронами, идентифицирован как спектр иона H₂S⁺ вследствие совпадения колебательной структуры оптич. и фотоэлектронного спектров. Потенциальный барьер между изогнутой и линейной структурами равен 460 см⁻¹, равновесное расстояние H—S 1,358 Å, валентный угол 92°54'. Рассмотрены правила отбора для колебательных переходов в фотоэлектронных спектрах. В. И. Нефедов

Исп

СДР-рн

X 1972

16

H₂S⁺

70

ZSHS

34. check

C.A. 1972

76.18

) 105972r H₂S⁺ radical ion. Comparison of photoelectron and optical spectroscopy. Dixon, R. N.; Duxbury, G.; Horani, M.; Rostas, J. (Dep. Théor. Chem., Univ. Bristol, Bristol, Engl.). *Mol. Phys.* 1971, 22(6), 977-92 (Eng). The emission spectrum between 4000 and 5000 Å obtained by Horani, Leach and Rostas by controlled-energy electron excitation of H₂S belongs to H₂S⁺. The decrease and subsequent increase of the bending vibrational intervals in the \tilde{A}^2A_1 state of H₂S⁺ and D₂S⁺ indicates a barrier to linearity of approx. 4600 cm⁻¹. A preliminary rotational anal. of the spectrum leads to the following mol. parameters for the ground state: $r_0'' = 1.35_8$ Å, valence angle 92° 54'. A detailed comparison of the optical and photoelectron spectra has been made and selection rules for the photoelectron spectra are presented. To understand the vibronic patterns of both types of spectra it is necessary to consider in detail Renner-Teller vibronic interaction. A barrier to linearity in the 2A_1 state of H₂S⁺ alone is insufficient to account for the interesting change in the spectrum of the ${}^2A_1 - {}^1A_1$ transition at energies corresponding to the potential max.

1971

H_2S^+

1971.

annually 168 X

Herzberg &.

"Quarterly Rev."

1971, 25 v2

201-222

H S +
2

1972

Chemphys

50

CERN. N

Q001034. chemphys

C.A. 1972

16 - 26

160610w Calculation of the vibrational envelope and bond angle in the first excited state of H_2S^+ from the photoelectron spectrum of hydrogen sulfide. Durmaz, S.; King, G. H.; Suffolk, R. J. (Sch. Mol. Sci., Univ. Sussex, Brighton, Engl.). *Chem. Phys. Lett.* 1972, 13(3), 304-6 (Eng). The barrier to linearity of H_2S was detd. as 4650 cm^{-1} from the position of min. vibrational spacing of the dominant progression of the 2nd band (at 2600 cm^{-1}) in the high-resolution photoelectron spectrum. Anal. of the vibrational spacing and Franck-Condon intensities gave a calcd. barrier of 5020 cm^{-1} , an equil. bond angle of 120° for the 1st excited state of H_2S^+ , a force const. of $1.4 \times 10^5 \text{ dyne/cm}$, and a zero-point energy of 540 cm^{-1} . The vibrational structure was retained after the max., but was more closely spaced.

H_2S^+

1972

6 Д312. Вращательный анализ электронного спектра излучения ион-радикала H_2S^+ . Duxbury G., Hogan M., Rostas J. Rotational analysis of the electronic emission spectrum of the H_2S^+ ion radical. «Proc. Roy. Soc. London.», 1972, A331, № 1584, 109—137 (англ.)

В области 400—500 нм фотографически зарегистрирован спектр излучения ион-радикалов H_2S^+ (I) и D_2S . Возбуждение осуществлялось с помощью техники скрещенных молекулярных пучков при энергии электронного источника 100 эв. Найдено, что спектр принадлежит к электронному переходу $^2A_1 \rightarrow ^2B_1$ в молекуле I, аналогичному переходу в молекулах NH_2 , PH_2 и AsH_2 . Проведен детальный вращательный анализ спектра и определена геометрическая структура основного и возбужденного электронного состояния I. Даны значения констант и проведено их сравнение с теоретически вычисленными. Библ. 32.

П. Ш.

ф. 1973, № 6

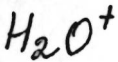
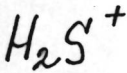
H_2S^+

1972

170863r Rotational analysis of the electronic emission spectrum of the H_2S^+ ion radical. Duxbury, G.; Horani, M.; Rostas, J. (*Dep. Theor. Chem., Univ. Bristol, Bristol, Engl.*). *Proc. Roy. Soc. London, Ser. A* 1972, 331(1584), 109-37 (Eng). The emission spectra of H_2S^+ and D_2S^+ occurring in the 400-500-nm region were analyzed in detail. In the lower 3B_1 state both mols. are near oblate asymmetric tops, and from the rotational consts. an SH(SD) bond length of 0.135₈ nm and an HSH(DSD) angle of 92.9° were obtained. In the 3A_1 upper state of both mols. the equil. angle was ~127° and the SH(SD) bond length was 0.136₉ nm. The barrier to linearity in the excited state was ~4400 cm⁻¹ and transitions were obsd. from levels both below and above the barrier. The 2 combining states were derived from an electronic II state which was split by static Renner interaction. The complicated ro-vibronic structure of the excited state was interpreted in terms of a model in which both the dynamic Renner effect and spin-orbit interaction are included. The 3A_1 state of H_2S^+ played an intermediate role between the analogous high-barrier mols. such as AsH_3 , and the low barrier mols. such as NH_3 .

(D. L. Chelik)
(M. H.)

C. A. 1972, 77, N26.



(E)

8 Б119. Кинетическая энергия при диссоциации некоторых простых молекулярных ионов. Вода и сероводород. Jones E. G., Beurop J. H., Cooks R. G. Kinetic energy release in the dissociation of some simple molecular ions. Water and hydrogen sulfide. «J. Chem. Phys.», 1972, 57, № 8, 3207—3212 (англ.)

1972.

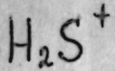
Применена методика спектроскопии кинетич. энергий для изучения образования ионов S^{+} из M^{+} иона сероводорода и O^{+} из M^{+} иона воды. Образование S^{+} в результате распада H_2S^{+} идет по мономолек. р-ции преддиссоциации 1-го возбужденного состояния через состояние отталкивания 4A_2 . В области классич. переходов эта р-ция протекает быстро в масштабе времени масс-спектрометрирования, но туннельные переходы через барьер происходят сравнительно медленно и дают метастабильные ионы, к-рые распадаются с переходом всей потенц. энергии в кинетич. Возбуждение основного состояния H_2S^{+} путем столкновений приводит к возбужденным ионам, к-рые быстро диссоциируют через поверхность отталкивания 4A_2 и дают существенно возбужденную

Х. 1973 № 8.

($v=2$) H_2 . Эта р-ция происходит с превращением 30% всей имеющейся в наличии энергии в энергию поступательного движения продуктов. Термодинамика образования S^+ , определенная исходя из потенциала его появления, требует только незначительной коррекции на избыточную энергию терма, связанную с разницей потенциальных энергий между областью перехода и основным состоянием продуктов, поскольку Пв отталкивания необычно плоская. Ионы H_2O^+ из основного состояния в результате столкновений возбуждаются и, теряя 22 ± 4 эв кинетич. энергии, приходят к состояниям с большой энергией возбуждения, к-рые приводят сразу к O^+ (2D или

2P) и колебательно возбужденным H_2 . Измерения потенциалов появления не обеспечивают достаточно точной идентификации продуктов из-за термов с избытком энергии. Полученные результаты противоречат ранее сделанным выводам о том, что фрагментация под электронным ударом приводит к двум несвязанным атомам водорода.

Ю. В. Денисов



М.И.
Чом.

Х. 1973

№ 12

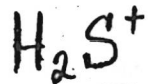
12 Б123. Вращательный анализ электронного спектра испускания ион-радикала H_2S^+ . Duxbury G., Hogan M., Rostas J. ~~Rotational~~ analysis of the electronic emission spectrum of the H_2S^+ ion radical. «Proc. Roy. Soc. London», 1972, A331, № 1584, 109—137 (англ.)

1973

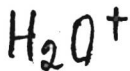
Исследованы спектры испускания H_2S^+ (I) и D_2S^+ (II) в области 400—500 нм, возбуждавшиеся с помощью техники пересекающихся пучков, в к-рой коллимированный поток газа (H_2S или D_2S) возбуждался пучком электронов с энергией ~ 100 эв. Проведен вращательный анализ наблюдавшихся полос в спектрах испускания I и II. При этом в случае основного электронного состояния X^2B_1 использовался гамильтониан нежесткой молекулы с учетом центробежной поправки второго порядка и членов, ответственных за спин-вращательное взаимодействие, а в случае возбужденного электронного состояния $A, ^2A_1$ использовался гамильтониан вида $H = H^{(2)}_{\text{bend}} + H_{\text{evr}} + H_r(b, c) + H_{\text{so}}$, где $H^{(2)}_{\text{bend}}$ — гамильтониан, содержащий координату большой амплитуды θ и вращение вокруг оси α , $H_r(b, c)$ — вращательный гамильтониан для степеней свободы, для к-рых вращательные постоянные и постоянные спин-орбитального взаимодействия слабо зависят от координаты движения с большой амплитудой, H_{evr} — гамильтониан

электронно-колебательного взаимодействия, π_{SO} — мультионаин спин-орбитального взаимодействия. Определены и затабулированы молек. постоянные I и II: колебательные постоянные в состоянии $\tilde{X}^2B_1 - \omega_2^0 = 1164,65$ (I), $841,4 \text{ см}^{-1}$ (II); $X_{22}^0 = -5,65$ (I), $-2,8 \text{ см}^{-1}$ (II); величины термов T_{0v0} в состоянии \tilde{A}^2A_1 для I ($0 \leq v \leq 7$) и II ($3 \leq v \geq 9$); вращательные постоянные и постоянные центробежного искажения I и II в состоянии $\tilde{X}^2B_1 (V'' = 0, 1, 2)$; вращательные постоянные в состоянии $\tilde{A}(^2A_1)$ для I ($2 \leq V \leq 7$) и II ($3 \leq V \leq 9$); постоянные спин-вращательного взаимодействия в состоянии $X(^2B_1)$ для I ($V_2'' = 0, 1, 2$) и II ($V_2'' = 0$). В состоянии X^2B_1 молекулы I и II являются почти сплющенными асимм. волчками, для к-рых из вращательных постоянных определена длина связи $r[S-H(S-D)] = 0,135_8 \text{ нм}$ и $\angle HSH(DSD) = 92,9^\circ$. В состоянии $\tilde{A}(^2A_1)$ $= 0,136_9 \text{ нм}$ и $\angle HSH(DSD) \approx 127^\circ$. Для описания сложн. I и II имеют геометрич. параметры: $r(S-H(S-D)) =$ $\text{нного вращательно-колебательно-электронного взаимо-}$
 $\text{действия в состоянии } \tilde{A}(^2A_1)$. I и II оказалось также не-
 $\text{обходимым учесть динамич. эффект Реннера. Два}$
 $\text{электронных состояния } ^2A_1 \text{ и } ^2B_1 \text{ I и II коррелируют с}$
 $\text{двумя компонентами состояния } ^2\Pi \text{ линейной молекулы.}$
 $\text{Оценена величина барьера перехода в линейную форму}$
 $\text{I и II в состоянии } \tilde{A}(^2A_1) \approx 4400 \cdot \text{см}^{-1}$. А. П. Александров

1974



* 4 - 5167



BP-XT-4045

20 Б21. Расчеты электронного строения H_2S^+ и H_2O^+ неэмпирическим методом МО. Sakai H., Yamabe S., Yamabe T., Fukui K., Kato H. Ab initio MO calculations on the electronic structures of H_2S^+ and H_2O^+ . «Chem. Phys. Lett.», 1974, 25, № 4, 541—545 (англ.)

Неэмпирическим методом ССП МО ЛКАО в миним. базисе СТО-3Г проведены расчеты электронного строения H_2S^+ (I) и H_2O^+ (II). Длины связей были фикси-

Электр.
структур
расчет

Х. 1974. № 20



рованы и приняты равными 1,336 Å для I и 1,0 Å для II. Углы θ между связями варьировались. Расчеты проводились для 2B_1 , 2A_1 и 2B_2 состояний обоих катион-радикалов. Предв. расчеты показали, что вклад квартетной компоненты в волновую функцию неограниченного метода Хартри—Фока (НХФ) невелик, на основании чего пользовались непосредственно значениями энергии $E_{\text{НХФ}}$ без аннигиляции квартетной компоненты. На основе рассчитанных потенциальных кривых определены равновесные углы, энергии электронных 0—0-переходов, энергетич. барьеры по отношению к переходу в линейную форму, силовые константы и частоты деф. колебаний. Для равновесных значений θ рассчитаны электронные и спиновые заселенности, а также диаграммы распределения спиновой плотности.

И. Абронин

H_2S^+

A 45-5167

1974

H_2O^+

B 91-XI-4045

29863s/ Ab initio MO calculations on the electronic structures of hydrogen sulfide(+) (H_2S^+) and water(+) (H_2O^+) ions. Sakai, H.; Yamabe, S.; Yamabe, T.; Fukui, K.; Kato, H. (Fac. Eng., Kyoto Univ., Kyoto, Japan). *Chem. Phys. Lett.* 1974, 25(4), 541-5 (Eng). Ab initio MO calens. for the potential-energy curves of H_2S^+ and H_2O^+ were done to obtain theor. descriptions of the electronic structures and geometries of these systems. The results agree satisfactorily with experiment and show that both radicals are very similar both in geometry and in electronic structure.

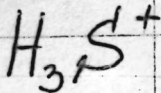
homework

no longer

pacem

(+)

C.A. 1974. 81. N.Y



1974

Электр.
сификац.

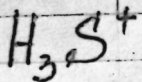
У 5 Б 42. Неэмпирический расчет электронного строения и барьера инверсии H_3S^+ . Yamabe Tokio, Aoyagi Tatsuhiko, Nagata Shinichi, Sakai Hideki, Fukui Kenichi. Ab initio calculation of the electronic structure and the barrier to pyramidal inversion for H_3S^+ . «Chem. Phys. Lett.», 1974, 28, № 2, 182—185 (англ.)

Неэмпирическим методом ССП МО ЛКАО в базисе ОСТ-ЗГФ исследовано электронное строение H_3S^+ (I). Равновесный валентный угол H—S—H оценен в 96° , длина связи S—H в 1,345 Å (опыт для H_2S $92^\circ 14'$ и 1,336 Å). Барьер пирамидальной инверсии I и сродство к протону H_2S оценены в 34,8 и 225,05 ккал/моль. Полученные результаты сопоставлены с лит. данными для родственных систем SiH_3^- , PH_3 , NH_3 , H_2S , H_3O^+ , H_2O . Показано, что в I электро-статич. отталкивание меньше, чем в H_3O^+ , что является причиной непланарности I в отличие от H_3O^+ . Отмечено, что при введении в I электронодонорных заместителей барьер инверсии должен понизиться.

В. Л. Лебедев

Х. 1975
N5

1974



No. 2002.

ЗД211. Неэмпирические расчеты электронного строения и барьера пирамидальной инверсии H_3S^+ . Yamabe Tokio, Ao yagi Tatsuhiko, Nagita Shinnichi, Sakai Hideki, Fukui Keiji. Ab initio calculation of the electronic structure and the barrier to pyramidal inversion for H_3S^+ . «Chem. Phys. Lett.», 1974, 28, № 2, 182—185 (англ.)

Методом ССП МО ЛКАО в миним. базисе слэтеровских ф-ций, каждая из которых аппроксимируется тремя гауссовскими ф-циями ОСТ-3Г, исследовано электронное строение H_3S^+ в основном состоянии. Приведена полная оптимизация геометрии. Найдено, что наиболее стабильной является пирамидальная форма (C_{3v}). ($r_{\text{SH}} = 1,345 \text{ \AA}$, $\angle \text{HSH} = 96^\circ$). Барьер пирамидальной ин-

ф. 1975 № 3

версии (C_{3v} — D_{3h} (плоская форма)) равен 34,8 ккал/моль. Значение сродства к протону для H_2S получилось равным 225,05 ккал/моль, а величины зарядов на атомах H и S 0,15 и 0,55 (C_{3v}) соответственно (0,214 и 0,358 (D_{3h})). Проведено исследование модельных соединений A_3S^+ , где A — водородоподобный атом с зарядом ядра, меняющимся от 0,9e (электронно-дипольный заместитель) до 1,1e (электроотрицательный заместитель). Показано, что барьер инверсии меняется от 29 до 41,5 ккал/моль, заряд на атоме A уменьшается от 0,216 до 0,083, а на атоме S возрастает от 0,349 до 0,751. Полученные результаты согласуются с экспериментальными.

В. А. Корсунов

H₂S±

Hinchliffe A.

1975

Kb. Mex.
pacense
M.R. XII

1486

J. Mol. Struct., 1975,
27, Nr, 329-334.

Call BH₃ $\overline{;}$ _{III}

60326.9

60326.9

Ch, Ph, TC

55223

1975

 ~~SH_2, SH_2^+, SH_2^-~~

X3-11869

Kari_Roy_E.,_ Csizmadia Imre G.

A systematic ab initio LCAO-MO-SCF study of the ionization potentials, hydrogen and electron, proton, hydride affinities of SH_n molecules and ions. "Can. J. Chem." 1975, 53, N 24, 3747-3756
 (англ., рез. франц.)

(cui. SH_2 ; II)

562 567 5.79

0587 никвинити

05/05/3529 1975

H_2S^+

спектр
(fми)

☒ ④ fми

φ 1976 N 4

4 Д205. Времена жизни вибронных состояний \tilde{A}^2A_1 H_2S^+ . Möhlmann G. R., De Heeg F. J. Lifetimes of the vibronic \tilde{A}^2A_1 states of H_2S^+ . «Chem. Phys. Lett.», 1975, 36, № 3, 353—356 (англ.).

По эмиссии фотонов при электронном возбуждении H_2S (энергия электронов 150 эВ) на полосах $\tilde{A}^2A_1(0, v'_2, 0) \rightarrow \tilde{X}^2B_1(0, v'_2, 0)$ изучена кинетика распада и определены времена жизни вибронных состояний Σ и Π иона H_2S^+ . Рассмотрены подуровни состояний Σ $1 \leq v'_2 \leq 7$ и Π $3 \leq v'_2 \leq 6$, предиссоциация которых происходит соответственно при $v'_2 \geq 7$ и $v'_2 \geq 6$. Времена жизни непредиссоциированных Σ - и Π -подуровней составляют $(4,2 \pm 0,4) \cdot 10^{-6}$ и $(5,6 \pm 0,5) \cdot 10^{-6}$ сек, а предиссоциированных $\Sigma(0, 7, 0)$ - и $\Pi(0, 6, 0)$ -подуровней $(2,3 \pm 0,3) \cdot 10^{-6}$ сек и $(1,6 \pm 0,3) \cdot 10^{-6}$ сек соответственно. Константа скорости столкновительной дезактивации вибронных состояний \tilde{A}^2A_1 молекулами H_2S составляет $(2,3 \pm 0,3) \cdot 10^{-9} \text{ см}^3 \cdot \text{моль}^{-1} \cdot \text{сек}^{-1}$.

В. Ю. О.

51111.6005

301526 GR

1975

Ch, Ph, TC, MGU

 H_2S^+, H_2S^-

Xu-10542

XII-1522

Raimondi M., Tantardini G.F., Simonetta M.

Ab initio valence bond calculations IV.

 H_2S , SH and related ions. "Mol. Phys.",

1975, 30, N 3, 703-712

(англ.)

0493 ник

464 465 485

ВИНИТИ

60504.7261

Ch, TC

H₂ 8+ куй. чоніз
29864

1976

X 4-12812

Balkis T., Gaines A.F., Özgen G.,
Özgen I.T., Flowers M.C.

Ionisation of hydrogen sulphide,
selenide and telluride by electron
impact.

"J.Chem.Soc.Faraday Trans.", 1976, Part 2,
72, N 3, 524-527 (англ.)

586 591 605.

0613 ПМК ВИНИТИ

H_2S^+

Karlsson Leif. 1976

(J_i, γ)

"Phys Soc." 1976, 13, N4,
229-234 (aure)

(au H_2S ; III)

H_2S^+

ommecu 5771

1974

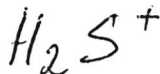
Huntress W.T., Jr.

Astrophys. J. Suppl. Ser.,
1977, 33, (4), 495-514.

$(\mathcal{A}_{H^+}, \gamma)$

Peer. H^+, III)

1978



D. L. Cawley
Institute of Chemical
Technology, Nagoya University

(F4)

CA, 1978, 88, N26

H₂S⁺

1979

24 Б130. Исследование диссоциации ионов $C_2H_2^+$, H_2S^+ и D_2S^+ в определенных энергетических состояниях методом спектроскопии фотоэлектрон-фотоионных совпадений. Eland J. H. D. Dissociations of state-selected $C_2H_2^+$, H_2S^+ and D_2S^+ ions studied by photoelectron-photoion coincidence spectroscopy. «Int. J. Mass Spectrom. and Ion Phys.», 1979, 31, № 1—2, 161—173 (англ.)

Спектры совпадений фотоэлектронов с фотоионами, образующимися в результате фотоионизации C_2H_2 , H_2S и D_2S , изучены при различ. фиксированных энергиях фотоэлектронов с анализом ионов по массам время-пролет-

ным методом. Установлено, что ионы $C_2H_2^+$ ($A^2\Sigma_g^+$) диссоциируют путем отщепления Н с близкой к нулю кинетич. энергией вблизи порога р-ции (17,3 эв). Ионы H_2S^+ и D_2S^+ распадаются из состояния A^2A_1 на S^+ и $H_2(D_2)$ с передачей 80—20% энергии в кинетич. энергию продуктов распада, а из состояния B^2B_2 с отщеплением атомов Н и передачей на поступательные степени свободы не более 30% энергии.

Е. Николаев

X-1979, № 24



1989

1) 11 Д203. Последовательная метастабильная диссоциация трехатомных ионов. Молекулярный ион SH_2^+ .
Consecutive metastable dissociation of triatomic ions.
The SH_2^+ molecular ion. Mastan I., Ramula A.,
Mergse a V. «Stud. Univ. Babeş — Bolyai. Phys.», 1979,
24, № 2, 3—13 (англ.; рез. рум.)

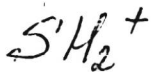
масс-спектрометрия

Масс-спектрометрически исследован процесс последовательной спонтанной диссоциации ионов SH_2^+ по цепочке $\text{SH}_2^+ \rightarrow \text{SH}^+ \rightarrow \text{S}^+$. Найдено, что время распада SH_2^+ на SH^+ и H равно $5,54 \cdot 10^{-4}$ сек, а время распада SH^+ на S^+ и H есть $2,27 \cdot 10^{-5}$ сек. Обсуждаются возможные механизмы диссоциации. Так, распад SH_2^+ возможен за счет преддиссоциации из электронно-возбужденных состояний 2A_1 и 2B_2 , а распад SH^+ — из одного из состояний ${}^3\Sigma^-$, Δ^1 , ${}^1\Sigma^+$ и ${}^3\Pi$, в которых может образоваться SH^+ при распаде SH_2^+ .

Б. Ф. Гордиец

Ф. 1980 № 11

1979



метастаб.
диссоциац.

(+)

21 Б95. Последовательная метастабильная диссоциация трехатомных ионов. Молекулярный ион SH_2^+ . Mastan I., Pamula A., Mergse a V. Consecutive metastable dissociation of triatomic ions. The SH_2^+ molecular ion. «Stud. Univ Babeş-Bolyai. Phys.», 1979, 24, № 2, 3–13 (англ.; рез. рум.)

Обнаружены последовательные двухступенчатые спонтанные распады трехатомных молекулярных ионов сероводорода: $\text{SH}_2^+ \rightarrow \text{SH}^+ (m^* = 32,03) \rightarrow \text{S}^+ (m^* = 30,12)$. Ионизация происходила при бомбардировке электронами с энергией 70 эВ. Предполагается, что 1-я ступень последовательных распадов вызвана автоионизацией до нескольких ридберговских состояний, с послед. переходом к известным электронным состояниям молек. ионов SH_2^+ (2A_1 и 2B_2). Вторая ступень может возникнуть благодаря предиссоциации туннелированием ионов SH^+ из одного или нескольких электронных состояний. Сечения процессов равны, соответственно, $9,58 \cdot 10^{-6}$ см 2 и $3,75 \cdot 10^{-16}$ см 2 . Времена жизни ионов SH_2^+ и SH^+ получены равными $5,54 \cdot 10^{-6}$ и $2,27 \cdot 10^{-6}$ с. М. Туркина

X.1980 N 21

H_2S^+

commica 10347

1980

ref. check,
packed

93: 192485b Ab initio MRD-CI study on H_2S^+ . Dissociation correlation diagram for the A^2A_1 and B^2B_2 electronic states. Hirsch, Gerhard; Bruna, Pablo J. (Univ. Bonn, 5300 Bonn, 1 Fed. Rep. Ger.). *Int. J. Mass Spectrom. Ion Phys.* 1980, 36(1), 37-46 (Eng). A correlation diagram for the first three doublet and lowest quartet electronic states of H_2S^+ (vertical and intermediate regions as well as dissociation products) was obtained in ab-initio (multi-ref. double-excitation)(MRD)-CI calcns. Deficiencies are apparent in a previous diagram, where an avoided crossing between two $^2A^1$ states and the essential participation of a 4B_1 (vertical region) state were not taken into account. The correlation scheme reported is in agreement with the existing exptl. results, and resolves the queries recently raised by J. H. D. Eland (1979).

C.A. 1980.93 n.20

H_2S^+

диполь 10347 1980

1 Д87. Исследование H_2S^+ неэмпирическим методом конфигурационного взаимодействия. Корреляционные диаграммы для диссоциации в электронных состояниях \tilde{A}^2A_1 и \tilde{B}^2B_2 . Ab initio MRD—*Ci* study on H_2S^+ . Dissociation correlation diagram for the \tilde{A}^2A_1 and \tilde{B}^2B_2 electronic states. Hirsch Gerhard, Вгина Рабло J. «Int. J. Mass Spectrom. and Ion Phys.», 1980, 36, № 1, 37—46 (англ.)

М.Н.

Неэмпирическим методом ССП МО ЛКАО с учетом взаимодействия большого числа конфигураций рассчитана корреляционная диаграмма для 3 низших дублетных и низшего квартетного состояний H_2S^+ (вертикальная и промежуточная области и продукты диссоциации). Отмечены недостатки диаграмм, полученных ранее, где не учитывалось разрешенное пересечение двух состояний ${}^2A'$ и участие состояния 4B_1 . Полученные результаты согласуются с эксперим. данными и позволили провести их детальную интерпретацию.

Резюме

Ф. 1981 № 1

H_2S^+

отмеч 10347

1980

4 Б38. Неэмпирический расчет иона H_2S^+ методом конфигурационного взаимодействия с учетом двукратно возбужденных конфигураций относительно нескольких основных конфигураций. Корреляционная диаграмма диссоциации для электронных состояний \tilde{A}^2A_1 и \tilde{B}^2B_2 .
Hirsch G., Вгипа Р. J. Ab initio MRD—CI study on
 H_2S^+ : Dissociation correlation diagram for the \tilde{A}^2A_1 and

кв. метод,
расчет

д. 1981. IV

O₁

B^2B_2 electronic states. «Int. J. Mass Spectrom. and Ion Phys.», 1980, 36, № 1, 37—46 (англ.)

Для анализа различных каналов диссоциации иона H_2S^+ модифицированным методом конфигурац. взаимодействия с учетом двукратно возбужденных конфигураций, относительно нескольких основных конфигураций (ДВ-НОК) (см. «Chem. Phys. Lett.», 1979, 67, 109) рассчитаны поверхности потенциальной энергии этого иона в его низколежащих электронных состояниях A^2A_1 и B^2B_2 . На основе полученных результатов построены полные корреляц. диаграммы диссоциации. Представлены относит. энергии для 6 различных ядерных конфигураций, все из к-рых играют важную роль для диссоциации, приводящей к различным продуктам. Проанализированы траектории, соотв-щие удлинению связи S—H; изменению валентного угла и асимм. колебанию, а также вертикальная ионизация молекулы H_2S и область 2-го минимума $A(1^2A')$ соотв-щего 2B_2 при симметрии C_{2v} . Найдено, что электронные состояния 2A_1 и 2B_2 энергетически сильно отделены друг от друга и генетически связаны с поверхностями термов $1^2A'$ и $2^2A'$ соотв., хотя в действительности имеет место квазипересечение термов. Полученные данные подтверждают представления о возможности преддиссоциации с образованием $SH^+(^3\Sigma^-)$ и $H(^2S_g)$.

С. Долин

H₂S⁺

enmucu 9839

1980

PH₂

Kb. exx.
facer

④ (71)

V 93: 212497n A theoretical study of the lowest Σ^2B_1 , Σ^2A_1 , and Σ^2B_2 electronic states in hydrogen sulfide monocation and a comparison with corresponding states in related systems.

Bruna, Pablo J.; Hirsch, Gerhard; Peric, Miljenko; Peyerimhoff, Sigrid D.; Buenker, Robert J. (Univ. Bonn, D-5300 Bonn 1 Fed. Rep. Ger.). *Mol. Phys.* 1980, 40(3), 521-37. (Eng). The potential energy surfaces of the 3 lowest lying states of H₂S⁺ were examd. using large-scale CI calcs. Whereas the structural results for the X^2B_1 and A^2A_1 states agree with expt., the Σ^2B_2 state exhibits an [S-H₂]⁺ structure with large SH bond seprns. and a very small internuclear angle of 32°. Energies and wave functions were calcd. for the 3 vibrational modes in the X^2B_1 and A^2A_1 states of H₂S⁺ and D₂S⁺ and the corresponding Franck-Condon factors for the A^2A_1 - X^2B_1 band were detd. A max. at $v=1$ absorption intensity was predicted to occur for $v'2 = 5-6$ for H₂S⁺ and for $v'2 = 7-8$ for D₂S⁺ for the A^2A_1 - X^2B_1 transition, the calcd. T_0 energy being 18,620 cm⁻¹. The potential energy curve of the Σ^2B_2 state of PH₂ was also calcd. to give a full comparison with the other AH₂ systems: PH₂, NH₂, and H₂O⁺.

C.I. 1980. 93 N 22

11/1 - 10/4/88

H_2S^+

диписа 9839

1980

12 Д149. Теоретическое исследование низших 2B_1 , 2A_1 и 2B_2 электронных состояний H_2S^+ и сравнение с соответствующими состояниями родственных систем.
A theoretical study of the lowest 2B_1 , 2A_1 and 2B_2 electronic states in H_2S^+ and a comparison with corresponding states in related systems. Bruna Pablo J., Hirsch Gerhard, Perić Miljenko, Peyerimhoff Sigrid D., Buenker Robert J. «Mol. Phys.», 1980, 40, № 3, 521—537 (англ.)

Мин;
Человек

Методом конфигурационного взаимодействия в двух больших базисах сгруппированных гауссовых ф-ций исследовано электронное строение H_2S^+ (I) в низколежащих состояниях X^2B_1 , A^2A_1 и B^2B_2 . Рассчитанная равновесная геометрия хорошо согласуется с эксперим.

Ф. 1980 № 12



XII-2048

данными и данными расчетов др. авт. В состоянии 2B_2 валентный угол равен 32° и расстояние $S-H$ велико, так что система представляет собой комплекс вида $[S \dots H_2]^+$. Также рассчитаны волн. ф-ции и энергетич. характеристики для всех трех колебательных мод состояний 2B_1 и 2A_1 I и D_2S^+ (II) и факторы Франка — Кондона; максимумы поглощения предсказаны для $v'=5-6$ для I и $7-8$ для II для перехода $A^2A_1-X^2B_1$, энергия T_0 для к-рого оценена в $18\ 620\text{ см}^{-1}$ (эксперим. значение 18 520). Полученные результаты сопоставлены с данными аналогичных расчетов для соответствующих состояний PH_2 , NH_2 и H_2O^+ и обсуждены закономерности для указанного ряда соединений. Также рассчитана потенц. кривая для состояния 2B_2 PH_2 .

H_2S^+

отмели 9839

1980

2 Б21. Теоретическое исследование низших электронных состояний 2B_1 , 2A_1 и 2B_2 в H_2S^+ и анализ соответствующих состояний в родственных системах.
Bruna P. J., Hirsch G., Peric M., Peyerimhoff S. D., Buenker R. J. A theoretical study of the lowest 2B_1 , 2A_1 and 2B_2 electronic states in H_2S^+ and a comparison with corresponding states in related systems. «Mol. Phys.», 1980, 40, № 3, 521—537 (англ.)

Г. Е. ЧЕ
ческих

Методом конфигурац. взаимодействия рассчитаны поверхности потенциальной энергии иона H_2S^+ в трех низколежащих электронных состояниях, 2B_1 , 2A_1 и 2B_2 . Для всех трех случаев проведена оптимизация геометрич. параметров, причем в состоянии 2B_2 ион имеет структуру $[S \dots H_2]^+$, к-рой соответствует неожиданно большое значение длины связи S—H и значение валентного угла, равное 32° . Для всех трех нормальных колебаний в возбужденных состояниях X^2B_1 и A^2A_1 ионов

ХIII-Логика

Х. 1981 №

H_2S^+ и D_2S^+ рассчитаны энергии и волновые функции, а также определены значения соответствующих франк-кондонаовских факторов для полосы $A^2A_1 \rightarrow X^2B_1$. Найдено, что максимум поглощения для перехода $A^2A_1 \rightarrow X^2B_1$ в H_2S^+ соответствует $v_2' = 5-6$, а в D_2S^+ $v_2' = 7-8$. Практически точно воспроизведено значение энергии $T_0 = 18620 \text{ см}^{-1}$ (эксп. значение 18520 см^{-1}). Аналогичные расчеты выполнены и для других родственных систем AH_2 : PH_2 , NH_2 и H_2O^+ , для которых также определены оптим. значения геометрич. параметров в различных состояниях, вычислены вертикальные энергии возбуждений, энергии ионизации и проанализирована колебательная структура.

С. Долин

H_2S^+

1980

Lorquet J.C. et al.

proc. rob.
numeris
supr々ii

af. chim. phys. et phys.-chim.
biol. 1980, 74, N7-8,
719-24.

err. $H_2O^+ - \text{II}$

SH^+
2

1980

Cherif

94: 182856e A theoretical study of the vibronic structure in the electronic spectrum of hydrogen sulfide radical cation. Peric, Miljenko; Krmar, Marija (Fac. Sci., Belgrade Univ., YU-11001 Belgrade, Yugoslavia). *Glas. Hem. Druš. Beograd* 1980, 45(11), 531-9 (Eng). A method is described for an ab initio calen. of vibronic levels in triat. mols. exhibiting a strong Renner-Teller effect. It is based on polynomial expansions of the mol. potentials and the kinetic energy operator, and a variational calen. of the energy levels and wave functions. The results for the $^2\Pi_u$ state of SH^+2 are reported.

C.A. 1981, 94, N22

~~SH₂⁺~~ 1980

~~SH₂⁺~~

Кб. исх.
расчет

21 Б43. Теоретическое исследование вибронной структуры в электронном спектре SH₂⁺. Регис М., Ктаг М. A theoretical study of the vibronic structure in the electronic spectrum of SH₂⁺. «Глас. Хем. друшт. Београд», 1980, 45, № 11, 531—539 (англ.; рез. сербскохорв.)

Описан неэмпирич. метод расчета вибронных уровней в трехатомных молекулах с сильным эффектом Реннера — Теллера. Используются полиномиальные разложения молек. потенциалов и оператора кинетич. энергии, с использованием к-рых становится возможным вариац. расчет энергетич. уровней и волновых ф-ций. Предложенный метод проиллюстрирован на примере расчетов колебательной структуры $^2\Pi_u$ -полосы молек. иона SH₂⁺. Найдено хорошее согласие между рассчитанными вибронными уровнями и экспериментом: при абрс. значениях энергий переходов порядка 20 000 см⁻¹ различия между расчетом и опытом не превышают ~100 см⁻¹.

С. Долин

22.21.1981

1980

 H_2S^- D_2S^- *предварительный*

18 Б1006. Ионизация быстрых атомов К при столкновении с H_2S и D_2S . Stockdale J. A. D., Reinhardt P. W. Collisional ionization of fast K atoms by H_2S and D_2S . «Chem. Phys. Lett.», 1980, 71, № 2, 274—276 (англ.)

С использованием установки со скрещенными пучками и электростатич. анализатором энергии с время-пролетной системой исследовался процесс $K + H_2S/D_2S \rightarrow HS^-/DS^- + K^+ + H/D$ для энергий атомов К от порога до $E \approx 100$ эВ. Измерены спектры кинетич. энергии образующихся ионов HS^-/DS^- при E от 13 до 57,4 эВ, а также энергетич. спектры ионов K^+ при E от 47,5 до 94,2 эВ. Показано, что энергия появления K^+ находится в соответствии с энергией появления HS^- или DS^- , к-рая в свою очередь с точностью $\pm 0,2$ эВ равна пределу диссоциации H_2S^- или D_2S^- в состоянии 2A_1 .

Л. Е. Ястребова

Х 1980 № 18

$\text{SH}_2^{2\pm}$

1981

Bhattacharyya A.R.,
et al.

Nb. aux.
pacréti. J. Amer. Chem. Soc.,
1981, 103, N25, 7458 -
- 7468.



(ee. SN_2^- ; III)

H_2S^+

1981

Clark Timothy.

rb. $MgCl_2$,
pacruis.

J. Comput. Chem.

1981, 2(3), 261-265.

(err. H_2S ; II)

H_2S^+

Lett. 12144

1981

| 2 Д130. Применение адиабатического подхода к
эффекту Реннера в нелинейной трехатомной молекуле.
The Renner effect in a bent triatomic molecule using the
adiabatic approach. Duxbury G., Dixon R. N. «Mol.
Phys.», 1981, 43, № 2, 255—274 (англ.)

Изложены основы двух методов расчета энергии
вибронных уровней трехатомной молекулы при наличии
сильного эффекта Реннера. В 1-м методе вибронные
ф-ции являются собств. ф-циями аксиальной компонен-
ты орбитального углового момента, а вибронное взаи-
модействие осуществляется главным образом электро-
статич. потенциалом. Во 2-м методе, который назван
адиабатич. подходом, базис выбирается так, чтобы
взаимодействие базисных состояний описывалось сум-
мой взаимодействия орбитального момента с вращени-
ем вокруг оси a и электронным спином. Эти два ме-
тода применены к расчету энергии колебательных уров-
ней с $v_2 \leq 20$ (при значениях вращательного квантового

III.1

~~+2~~
+2

оп. 1982, 18, № 2.

числа $K \leq 4$) электронных состояний \tilde{A}^2A_1 и \tilde{X}^2B_1 иона H_2S^+ и радикала NH_2 и состояния $X^2\Pi$ иона CO_2^+ . Установлена полная эквивалентность результатов, полученных двумя методами. М. Р. Алиев



H_2S^+

Lommel 12144 | 1981.

Duxbury F., et al.

пакет

коэффициент
уровней

(Редукция
спектров)

Mol. Phys., 1981,
43 (2), 255-74.

SiH_3^{++}

1981

Marynick D.S.

Ei; recueip;
ceipyki; Ho;
 ρ_i .
J. Chem. Phys., 1981,
74, N 9, 5186 - 5189.

(cer. SiH_3 ; II)

SH_2

1981

Pandey R. P., et al.

paeriu, Indian J. Chem., 1981,
v. n. A20, n6, 592 - 593.

● (c.u. LiH_2 ; II)

$[SH_2]^{n\pm}$

1981

Takahata Y., et al.

Br. Acad. Brasil. ciêr.,

(preprint
1981)

1981, 53, N1, 93-99.

• (cfr. $[CH_2]^{n\pm}$; II)

H_2S^+

(98)

7 Б1496. Фотоионизация $(H_2S)_n$, где $n=1-7$, в молекулярном пучке. Walters Edward A., Blais Normand C. Molecular beam photoionization of $(H_2S)_n$, $n=1-7$. «J. Chem. Phys.», 1981, 75, № 9, 4208—4213 (англ.)

На фотоионизационном масс-спектрометре с вводом пробы в виде сверхзвукового молек. пучка измерены кривые эффективности фотоионизации (КЭФ) кластеров типа $(H_2S)_n$ ($n=1-7$), возникающих в молек. потоке H_2S , истекающем в вакуум со скоростью $\leq 7 \cdot 10^{-5}$ моль/с из области давл. 1000—1250 Торр. Измерения проводили в области длин волн от порога до 950 Å при спектральном разрешении $\sim 3,75$ Å. При давл. торможения 1240 Торр и действии света 1215,66 Å масс-спектр содержит линии след. ионов (указана их относит. интенсивности): H_2S^+ 1,00; $(H_2S)_2^+$ $7,3 \cdot 10^{-3}$; $(H_2S)_3^+$ $2,6 \cdot 10^{-3}$; $(H_2S)_4^+$ $8,2 \cdot 10^{-4}$; $(H_2S)_5^+$ $6,3 \cdot 10^{-4}$; $(H_2S)_6^+$ $2,5 \cdot 10^{-4}$; $(H_2S)_7^+$ $8,1 \cdot 10^{-5}$; $(H_2S)_8^+$ $2,7 \cdot 10^{-5}$.

При $n=1-7$ получены след. потенциалы ионизации $(H_2S)_n$ соотв. (эВ): $10,449 \pm 0,006$; $9,74 \pm 0,01$; $9,63 \pm 0,01$; $9,61 \pm 0,01$; $9,58 \pm 0,01$; $9,50 \pm 0,02$; $9,63 \pm 0,03$.

g.

18

+7

X, 1981, 19, № 7.

Увеличение потенциала ионизации при переходе от $n=6$ к $n=7$ объяснено тем, что процесс $(H_2S)_{m-1} \cdot (H_2S)^+ + H_2S \rightarrow (H_2S)_m \cdot (H_2S)^+$, экзотермичный при малых m , становится эндотермичным при больших m . Термодинамические характеристики этой реакции $-H_0^0$ при $n=1-6$ соотв. таковы (ккал/моль): $17,0 \pm 0,3$; $3,2 \pm 0,3$; $1,2 \pm 0,3$; $1,4 \pm 0,3$; $2,6 \pm 0,5$; $-2,4 \pm 0,8$. Нестабильность $(H_2S)_7^+$ по отношению к его распаду на $(H_2S)_6^+ + H_2S$ показывает, что наблюдение $(H_2S)_7^+$ в масс-спектрах обусловлено наличием активац. барьера для такого распада. Зависимость логарифма относит. содержания кластера типа $(H_2S)_n$ от n спадает почти линейно с ростом n после резкого спада в промежутке от $n=1$ до $n=2$. Это указывает на отсутствие заметной предпочтительности образования кластеров с некоторым определенным значением n , которое отмечалось в лит-ре, напр., в случае паров воды. Линейная зависимость потенциала ионизации кластеров типа $(H_2S)_n$ от $1/n$ выполняется плохо, хотя согласно лит. данным для др. кластеров неметаллов она выполняется.

В. Е. Скурат

H_2S^+

1982

Ashfold M. N. R.,
Dixon R. N.

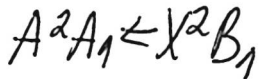
Crekamp,
et al.

Chem. Phys. Lett.,
1982, 93, N1, 5-10.

(see $\bullet H_2S^+$; III)

H_2S^+

Omnuck 13367] 1982



96: 171492y Observation of transitions to predissociated levels of hydrogen sulfide ($H_2S^+)(\tilde{A}^2A_1)$ in a laser-ion beam experiment. Edwards, C. P.; Maclean, C. S.; Sarre, P. J. (Dep. Chem., Univ. Nottingham, Nottingham, UK NG7 2RD). *Chem. Phys. Lett.* 1982, 87(1), 11-13 (Eng). Rotational lines in the $A^2A_1 \leftarrow \tilde{X}^2B_1$ electronic transition of H_2S^+ were obsd. by a laser-ion beam technique. The spectra are recorded by monitoring the prodn. of S^+ ions which arise from predissocn. of the A^2A_1 state.

c. A. 1982, 96, n20

H_2S^+

Омск 13367 1982

7 Д428. Наблюдения переходов на предиссоциативные уровни $H_2S^+(A^2A_1)$ в лазерных экспериментах с ионным пучком. Observation of transitions to predissociated levels of $H_2S^+(A^2A_1)$ in a laser-ion beam experiment. Edwards C. P., Maclean C. S., Sarge P. J. «Chem. Phys. Lett.», 1982, 87, № 1, 11—13 (англ.)

Спектр
переходов на
предиссоциа-
тивные
уровни
φ 1982, 18 № 7

На установке с коллинеарными пучками молекулярных ионов и лазерного излучения получен с высоким разрешением спектр ровибронных переходов в системе $A^2A_1 \leftarrow X^2B_1$ ионов H_2S^+ . При фиксированной частоте лазера $\sim 25\ 000\ \text{см}^{-1}$ плавная перестройка по спектру осуществлялась за счет эффекта Доплера при изменении энергии ионов в пределах 500—5000 эВ. Регистрация поглощения лазерного излучения производилась по току ионов S^+ , образующихся при возбуждении ионов H_2S^+ на предиссоциативный ровибронный уровень состояния A^2A_1 . Кратко обсужден возможный механизм предиссоциации $H_2S^+(A^2A_1)$.

С. Литке

H_2S^+

1982

24 Б22. Исследование влияния электронной корреляции на теоретическое предсказание расщепления в нулевом поле молекулярных состояний $^2\Pi$. Hess Bernd A., Buenker Robert J., Magian Christel M., Peyerimhoff Sigrid D. Investigation of electron correlation on the theoretical prediction of zero-field splittings of $^2\Pi$ molecular states. «Chem. Phys. Lett.», 1982, 89, № 6, 459—462 (англ.).

Для молекул H_2S^+ , VO , NO , CH , CO^+ , OH в состояниях $^2\Pi$ рассчитаны расщепления в нулевом поле, вызванные спин-орбитальным взаимодействием. Расчет проведен в рамках метода конфигурац. взаимодействия в двухэкспонентном базисе из сгруппированных гауссовых функций. Изучена зависимость расщепления от длины конфигурац. разложения. Проведено сравнение величин расщепления, полученных по теории возмущений в первом порядке и с помощью диагонализации матричного гамильтониана, включающего наряду с

д.н.

75

X. 1982, 19 N 24

электростатич. и спин-орбитальное взаимодействие. Отмечено, что для рассматриваемых молекул достаточно хорошее согласие с эксперим. величинами может быть получено при использовании волновой функции, включающей всего лишь ~ 1000 конфигураций.

Б. И. Жилинский

($\Delta \epsilon$)

H_2S^+

1982

УД131. Исследование электронной корреляции при теоретическом предсказании расщепления молекулярных состояний $^2\Pi$ в нулевом поле. Investigation of electron correlation or the theoretical prediction of zero-field splittings of $^2\Pi$ molecular states. Hess Bernd A., Bueker Robert J., Marian Christel M., Peuerlhoff Sigrid D. «Chem. Phys. Lett.», 1982, 89, № 6, 459—462 (англ.)

Методом конфигурац. взаимодействия с отбором конфигураций по отношению к многодетерминантной связочной ф-ции рассчитаны величины спин-орбитальных расщеплений электронных состояний $^2\Pi$ для молекул H_2S^+ , BO , NO , CH , CO^+ и OH . Базис АО состоял из стандартных наборов лепестковых гауссовых ф-ций типов s и p . Учет спин-орбитального взаимодействия проводился в первом порядке теории возмущений. Полученные в результате расчета значения параметров расщепления отличаются от экспериментальных не более чем на 1—5%.

А. И. Дементьев

55

расчет

и.и.

9. 1983, 18, N1

H_2S^+

1982

197: 98603z Investigation of electron correlation on the theoretical prediction of zero-field splittings of $^2\Pi$ molecular states. Hess, Bernd A.; Buenker, Robert J.; Marian, Christel M.; Peyerimhoff, Sigrid D. (Univ.-Gesamthochsch. Wuppertal, D-5600 Wuppertal, 1 Fed. Rep. Ger.). *Chem. Phys. Lett.* 1982, 89(6), 459-62 (Eng). First-order $^2\Pi$ zero-field splittings are computed for the H_2S^+ , BO, NO, CH, CO⁺ and OH ground electronic states by employing ab initio multi-configuration wavefunctions and by including all one- and two-electron spin-orbit interactions in a gaussian AO basis explicitly in the theor. treatment.

facult. 27/act

meopen

facrem

(45) R

C.A. 1982, 97, N/2

H_2S^+

1982

Miller J. C., Compton
R. N., et al.

Crekmp,
H. H.

J. Chem. Phys., 1982,
76, N II, 5648-5649.

(cfr. H_2S ; II)

542 +

1983

10 Б1041. Метод КВ—НИК для изучения низколежащих электронных состояний. Приложение к молекулярным ионам элементов третьего периода типа AH_2^+ , AH^+ , AB^+ и HAB^+ . MRD—CI method for the study of low-lying electronic states. Application to second-row molecular ions of type AH_2^+ , AH^+ , AB^+ , and HAB^+ . Brügel Pablo J., Hirsch Gerhard, Buenker Robert J., Peyerimhoff Sigrid D. «Mol. Ions: Geom. and Electron. Struct. Proc. NATO Adv. Study Inst., Isle of Kos, Sept. 30—Oct. 10, 1980». New York; London, 1983, 309—354 (англ.)

раселен Si, И.Н.

Описано приложение метода конфигурац. взаимодействия с построением одно- и двукратных возбуждений по отношению к набору исходных конфигураций (КВ—НИК) с отбором и экстраполяцией по энергии для расчетов энергетич. и структурных характеристик низколежащих электронных состояний простых молекул и

115

Х. 1984, 19, N 10

ионов. Показано, какие результаты м. б. получены для ионов типа AH_2^+ и AH^+ , где $A=S$, P и Si ; O , N и C , а также для ионов AB^+ и HAB^+ , где A , $B=C$ и Si . Приведены корреляц. диаграммы, фрагменты поверхностей потенциальной энергии, спектроскопич. постоянные, энергии возбуждения в высшие электронные состояния, интенсивности электронных и колебательных переходов. Проведены сопоставления св-в в рядах изовалентных и изоэлектронных соединений. А. В. Немухин

$S\text{H}_2^+$

1983

5 Д127. Многосылочный метод конфигурационного взаимодействия с учетом двукратных возбуждений (МСД-КВ) для изучения низколежащих электронных состояний. Применение к молекулярным ионам второго периода типа AH_2^+ , AH^+ , AB^+ и HAB^+ . MRD-CI method for the study of low-lying electronic states. Application to second-row molecular ions of type AH_2^+ , AH^+ , AB^+ , and HAB^+ . Bruna Pablo J., Hirsch Gerhard, Buenker Robert J., Peyerimhoff Sigrid D. «Mol. Ions: Geom. and Electron. Struct. Proc. NATO Adv. Study Inst., Isle of Kos, Sept. 30—Oct. 10, 1980». New York; London, 1983, 309—354 (англ.)

Изложена схема расчета потенц. поверхностей молекул в рамках многосылочного метода конфигурац. взаимодействия с включением двукратных возбуждений (МСД-КВ) и приведены результаты расчета низколежащих электронных состояний ионов типа AH_2^+ ($A=\text{S}$, O и Si). Построены корреляционные диаграм-

(+8)

сб. 1984, 18, N5

мы процессов диссоциации ионов на AH^++H и на H_2+A^+ . Выполнен анализ полученных потенц. поверхностей ионов AH_2 с точки зрения возможности их квазипересечения при переходе к менее симметричной ядерной конфигурации. Методом МСД-КВ рассчитаны вертикальные энергии возбуждений для ионов, SH^+ , PH^+ , SiH^+ , NH^+ , C_2^+ , CSi^+ и Si_2^+ . Проведен сравни-
тельный анализ потенциалов ионизации для изовалент-
ных пар PH^+/NH^+ и SiH^+/CH^+ . Рассчитан также по-
тенциал ионизации молекулы HCSi и определена от-
носит. стабильность изомеров HCSi^+ и CSiH^+ .
Библ. 52.

— А. И. Дементьев

гью
чогр

H₂S⁺

Om. 16343

1983

98: 206753e Effects of orbital angular momentum in hydrogen sulfide(1+). The Renner-Teller effect. Duxbury, G.; Jungen, C.; Rostas, J. (Dep. Nat. Philos., Univ. Strathclyde, Glasgow, UK G4 0NG). *Mol. Phys.* 1983, 48(4), 719-52 (Eng). The vibrational and K-type rotational levels of the $\bar{X} \ ^2B_1$ and the $A \ ^2A_1$ states of H₂S⁺ were fitted by least squares to give a pair of Born-Oppenheimer potential curves for the combining electronic states. An accurate description of the effects of orbital angular momentum on the energy level positions were obtained and relative transition moments for the vibronic bands of the $A \ ^2A_1 - \bar{X} \ ^2B_1$ transition were calcd. Relative transition moments for the photoelectron spectrum of H₂S (H₂S⁺, $A \ ^2A_1 \leftarrow H_2S$, $\bar{X} \ ^1A_1$) were also evaluated. The effects of orbital angular momentum on the spin and rotational fine structure were considered in detail. The parameters for end over end rotation were calcd. directly from the bond lengths and potential curves, which were derived from the least squares fit to the vibrational and K-type structure. The erratic spin-orbit splittings and asymmetry parameters of the $A \ ^2A_1$ state were reproduced with reasonable accuracy. Significant differences were obsd. between the effects of orbital angular momentum in H₂S⁺ compared to its effects on NH₂ and H₂O⁺. These differences are assocd. principally with the shapes of the potential curves, the size of the spin-orbit coupling, and the near equality of the vibrational sepn. in the excited state region of H₂S⁺.

(Progress
Percept-Tenney)

Kon. u sprausat

YRSHU

$\bar{X} \ ^2B_1$ u $A \ ^2A_1$ excs

C.A. 1983, 98, 1124

H_2S^+

Om. 16343

1983

15 Б77. Влияние орбитального углового момента в H_2S^+ . Эффект Реннера — Теллера. Effects of orbital angular momentum in H_2S^+ . The Renner — Teller effect.

Duxbury G., Jungen Ch., Rostas J. «Mol. Phys.», 1983, 48, № 4, 719—752 (англ.)

По эксперим. данным о колебательных и вращательных состояниях построены потенциальные ПВ для двух электронных состояний \tilde{X}^2B_1 и \tilde{A}^2A_1 , молек. иона H_2S^+ . Рассчитаны относит. моменты вибронных полос для перехода $\tilde{A}^2A_1 \rightarrow \tilde{X}^2B_1$. Определены также моменты перехода для фотоэлектронного спектра молекулы H_2S ($H_2S^+ \tilde{A}^2A_1 \rightarrow H_2S \tilde{X}^1A_1$). Детально исследовано влияние орбитального углового момента на вращат. и спиновую ТС спектров. Найденные параметры позволяют полностью описать нерегулярный характер расщепления в A^2A_1 -состоянии. Проведенное сравнение полученных результатов с аналогичным рассмотрением молекул NH_2 и H_2O^+ указывает на существенную зависимость системы энергетич. уровней от формы Пт и величины спин-орбитального взаимодействия.

Б. И. Жилинский

X. 1983, 19, N 15

H_2S

1983

Palke W. F., Kirtman
Bernard.

meop.
pacifica

J. Vol. Struct., 1983,
104, N1-2, 207 - 213.

(crys. H_2O ; III)

H_2S^+

dm. 16583

1983

20 Б101. Изучение фотоионизации H_2S методом молекулярного пучка. Molecular beam photoionization study of H_2S . Prest H. F., Tzeng W.-B., Vrom J. M., Ng C. Y. «Int. J. Mass Spectrom. and Ion Phys.», 1983, 50, № 3, 315—329 (англ.)

Методом сверхзвукового молек. пучка масс-спектрометрически измерены кривые эффективности фотоионизации молекул H_2S с образованием ионов H_2S^+ , S^+ и HS^+ . Измерения проведены для диапазона длин волн излучения возбуждения от 645 до 1190 Å. На основе данных фотоэлектронной спектроскопии и спектроскопии фотопоглощения для H_2S структура в измеренных спектрах отнесена к возбуждению колебательных уровней автоионизационных ридберговских состояний nsa_1 ($n=5,6$) и nda_1 ($n=4,5$), сходящихся к \tilde{A}^2A_1 и \tilde{B}^2B_2 состояниям H_2S^+ соотв. С использованием полученных данных и лит. абс. сечений фотоионизации H_2S с образованием H_2S^+ сделаны оценки абс. значений сечений фотоионизации H_2S с образованием HS^+ и S^+ .

О. А. Басченко

структура

X. 1983, 19, N 20

H_2S^+

1984

Carrington Alan.

Laser Appl. Chem. Proc. NATO

Adv. Study Inst. Laser Appl.

crexmp chem., San Miniato, June

(00gop) 27 - July 11, 1982, New York;
London, 1984, 117-121.

(Ccl. H_3^+ ; \overline{III})

$\mu_2 S^+$

(OM-20357)

1984

Ibuki T.,

Фактори
Франка-
Конюна

J. Chem. Phys., 1984,
81, N 7, 2915-2918.

H₂S⁺

[Om. 21592]

1985

SH₃⁺
SH₃²⁺

шоколад,
сиропы,
чизкейк.
Барбеку,
пир.

Бодорев А. И.,
Чаркеев О. Н.

N.C. сиропы: осу-
ществлена, 1985, № 3,
158-181.

H_2S^+

1985

№ Р Б4389. Сечение поглощения света молекулами H_2S . Photoabsorption cross section of H_2S . Ibuki T., Yagishita Y., Ito K., Koizumi H., Yoshimi T., Morita M., Agai S., Higopaka K., Shinsaka K., Hatano Y. «Chem. Phys. Lett.», 1985, 119, № 4, 327—330 (англ.)

В области длин волн 47—102 нм исследовано поглощение синхротронного излучения молекулами H_2S . Газ находили в ячейке, снабженной четырьмя коллекторами ионов при давл. $<0,12$ Торр. Разрешающая способность монохроматора составляла 4 Å. Для $\lambda > 90$ нм распределение автоионизац. максимумов соответствует ридберговскому переходу $Sa_1 \rightarrow 6sa_1$ иона H_2S^+ . В области 77—99 нм доминируют прогрессии вал. кол. v_1 .

спектр,

γ

ж. 1986, 19, № 2

Обнаруженные новые пики приписаны ридберговским переходам $2b_2 \rightarrow nda_1$ ($n=4, 5$). В области $\lambda=55-77$ нм обнаружены три максимума, отвечающие энергии 18,2, 19,5 и 21,1 эВ, к-рые соответствуют электронным состояниям 1^4A_2 , 4^4B_1 и 2^4A_2 иона H_2S^+ и приписаны их вертикальным Пт ионизации. Л. Ю. Русин

SH_2

1985

MacLagan Robert G.A.R.,
Kirtman Bernard.

v. n.

Theor. chim. acta, 1985,
68, N 5, 407-417.

(c.c.p. H_2O ; II)

S_{H₂}⁺

(OM 28345)

1985

Perić et., Peyerimhoff S. D.,
et al.,

ab initio
početem

Эксперимент

Реннер-
Теодора

Int. Rev. Phys. Chem.,
1985; 4, № 2, 85-124.

H_2S^+

1987

Chau Foo Tim.

THEOCHEM 1987, 36,
173-89.

$X^2B_1,$
 $A^2A_1,$

empyknypa

(crys. H_2O^+ ; I)

H_2S

1987

Mamada Keinosuke.

4.17.

Spectrosc. Lett., 1987,
20, N 6-7, 537-543.

(cu. \bullet H_2O ; \underline{III})

H2S:t (OM-27414) 1985

Herzberg G.,

Proc. Indian. Natl. Sci.

(offsp) Acad., 1985, A51, N.3,
495-521.

(Cer. Kopošky c ommun. Herzberg).

H₂S

1987

4 Л195. Спектр молекулы H₂S вблизи 1,6 мкм.
The H₂S spectrum in the 1,6 μm spectral region. Le-
chuga-Fossat L., Flaud J.-M., Camy-Peyret C.,
Arcas P., Cuisenier M. «Mol. Phys.», 1987, 61, № 1, 23—
32 (англ.)

На фурье-спектрометре с разрешением 0,017 см⁻¹ ис-
следован спектр поглощения молекулы H₂S в области
6000÷6500 см⁻¹. Идентифицирована вращательная
структура полос 2v₁+v₂, v₁+v₂+v₃ и v₂+2v₃ молекул
H₂³²S и H₂³⁴S. Анализ спектра выполнен с использо-
ванием приведенных вращательных гамильтонианов
Уотсона для основного и возбужденных состояний и
ангармонических и кориолисовых резонансов между
возбужденными колебательными состояниями (210),
(111) и (012). Определены значения вращательных
постоянных, постоянных квартичного и секстичного
центробежного искажения и резонансных параметров.

М. Р. Алиев

φ. 1988, 18, N4

H_2S

1987

Nordholm S.

Austral. J. Chem.,

vol. 1987, 40, N8, 1465-
-1470.

(Cer. \bullet NH_3 ; III)

SM_2^+ (2) Loc. 25904 1987

Pople J. A.

$\Delta_f H^\circ$, J. Phys. Chem., 1987,
v. n. 91, n1, 155 - 162.

1988

 H_2^+

7 Л201. ИК диодно-лазерная и микроволновая спектроскопия молекулярных ионов. Infrared diode laser and microwave spectroscopy of molecular ions. Нигота Е. «Phil. Trans. Roy. Soc. London», 1988, A324, № 1578, 131—139 (англ.)

Представлен литер. обзор ряда спектроскопич. исследований молекулярных ионов FHF^- , HBF^+ , H_2Cl^+ , H_2S^+ , HCO^+ и DCO^+ , выполненных методами диодно-лазерной и микроволновой спектроскопии. Рассмотрено влияние электрич. поля на дублеты l -типа, обусловленных переходами в колебательные состояния $v_2=1,2$ ионов HCO^+ , DCO^+ ; для DCO^+ рассмотрен резонанс Ферми между v_1 и $4v_2^0$. В приближении Борна — Оппенгеймера с использованием теоремы Гелмана — Фейнмана выполнены оценки электронных распределений в ионах и представлено их сравнение с распределениями в нейтральных соединениях для 3 изоэлектронных серий: 1 — NH^- , OH и FH^+ , 2 — HBF^+ , HBO , HCO^+ , HCN , HNN^+ , HNC^+ и HOC^+ , 3 — NH_2^- , OH_2 и FH_2^+ . Библ. 24.

B. K.

φ 1988, 18, N 7

 $M.N.$

(8820P)

(45)

H_2S^+ lom. 30490 1988

Jacob M.E.,

Ti, Pi; J. Phys. and Chem. Ref.
Data, 1988, 17, N2, 286.

H_2S^+

1995

122: 301509c Theoretical spectroscopic data for the X^2B_1 and A^2A_1 states of H_2S^+ . Lahmar, Souad; Ben Lakhdar, Zohra; Chambaud, Gilberte; Rosmus, Pavel (Departement de Physique, Universite de Tunis, Tunis, Tunisia). THEOCHEM 1995, 333(1-2), 29-37 (Eng). Coupled electron pair (CEPA) electronic wave functions were used to calc. the three-dimensional potential energy functions of the two lowest doublet states X^2B_1 and A^2A_1 of H_2S^+ . The near-equil. potential for the X^2B_1 state was used in variational calcns. of the ro-vibrational energy levels up to 10000cm^{-1} . Rotationally resolved absorption spectra of the three fundamental transitions were calcd. ab initio using the three-dimensional elec. dipole moment functions and the ro-vibrational eigenfunctions. The abs. line strengths are given for the most intense transitions.

$X^2B_1 \nu$
 $A^2A_1 \text{ COOR.}$

C.A. 1995, 122, N.24